

補強土의 舉動特性과 그 利用에 관한 開發研究

Development Study on the Behavior Characteristics and
the Application of Reinforced Earth

秦 柄 益*

Jin, Byung-Ik

柳 然 吉**

Ryu, Yearn-Gil

Abstract

The use of reinforced earth is not new. But available information on basic properties like strength and deformation behavior of reinforced earth materials is not adequate.

Therefore, the purpose of this present investigation is first to research the frictional characteristics of the reinforcement and standard sand using a shear testing apparatus. The second purpose of this articles are to report the results of comparison test on the strength and stress-strain behavior of a dry sand reinforced with aluminium foils and geotextiles under different confining pressures. Finally, the paper explores the possibility of geotextile reinforced earth masonry walls.

It was observed that the stress-strain response of sand are considerably improved by the introduction of geotextiles. The results of tests are used in developing the geotextile reinforced earth masonry walls.

It is hoped that this paper will be helpful in providing the basic data for the rational design and construction methods of reinforced earth structures.

要 旨

補強土의 利用은 새로운 것이 아니지만, 補強土 材料의 強度 및 應力—變形特性과 같은 性質에 관한 資料는 充分하지 못한 實情이다.

本 研究에서는 標準모래와 補強材사이의 摩擦特性과 알루미늄 薄板 및 土木纖維로 補強한 乾燥모래의 強度 및 應力—變形 舉動特性을 比較 試驗한 結果이다. 玆한 補強土 性質을 利用한 土木纖維 補強土 石築의 開發 可能性을 調査하는데 있다.

土木纖維에 의하여相當한 程度의 모래에 대한 應力—變形 舉動特性이改善되었다. 그 結果 土木纖維 補強土 石築이 開發되었다.

本 研究 結果로 補強土 構造物의 合理的 設計 및 施工方法에 관한 基礎的 資料로 活用이 期待된다.

* 正會員, 漢陽大學校 教授

** 正會員, 漢陽大學校 大學院 博士課程

1. 序論

補強土(Reinforced Earth)는 흙의 性質을 改善하기 위하여 흙 속에 引張強度가 큰 線形의 材料인 補強材와 非粘性土로 構成된 複合築造材料이다. 補強土에서의 基本的現象은 흙과 補強材의 摩擦을 통하여 흙은 土體內에 생기는 應力を 補強材에 傳播하며, 그 結果 補強材는 引張力이 생긴다. 이 引張力으로 흙은 補強材의 配置方向에 補強材의 引張強度에 比例하는 粘着力을 갖는 것과 같은 效果를 얻는다. 또한 補強土는 柔軟性이 있을 뿐만 아니라 높은 引張強度를 가질 수 있어 마치 鐵筋이 콘크리트와 結合하여 새로운 性質의 材料로 登場한 것처럼 補強土의 性質을 잘 利用한다면 土木材料 分野에 劃期的인 技術 發展이 이룩될 수 있다고 생각된다.

補強土에 관한 研究는 Videl^[25]a] 처음으로 開發한 以來, 1967年 프랑스의 LCPC^[16, 18, 24]에서 理論的 및 實驗的 研究가 本格的으로 始作되었다. 그後 世界 各國에서 이 材料에 관한 研究가 活發히 進行되었고, 國際學術會議^[16]가 여러 차례에 걸쳐 열린 바 있다. 그 結果 많은 補強土構造物이 築造되고 있고, 또한 安定性과 經濟性 및 施工의 簡便性이 입증되어 그 사용이 날로 증가되고 있는 實情이다.

이러한 趨勢로 미루어 土質工學 分野에서 最新의 土木材料로 등장하게 된 補強土는 土木技術發展에 크게 기대되는 分野인 동시에 將次 研究

開發의 必要性이 절실히 要求된다는 것을 立證하는 것이다.

그러나 國內에서는 이 材料에 관한 研究^[1~5]가 매우 不足하다.

이에 本 研究에서는 補強土의 性質 중 가장 基本的이며 重要한 흙과 補強材사이의 摩擦特性과 補強土의 強度 및 應力-變形 舉動特性을 實驗的으로 調査하고, 그 性質을 利用한 補強土構造物의 開發可能性을 檢討하는데 있다. 特히 國내에서 生產 市販되고 있는 土木纖維(Geotextile)를 補強材로 利用한 補強土石築(Reinforced Earth Masonry Walls) 또는 補強土블록擁壁(Reinforced Earth Block Walls)의 開發研究의 可能性에 主眼點을 두었다.

本 研究의 계기로 補強土에 관한 研究와 利用이 活性化되고 各種 補強土構造物의 合理的인 設計 計算 및 施工에 관한 基礎的인 資料로 活用이 期待된다.

2. 補強土의 基本理論

2.1 基本概念

흙 덩이가 應力を 받으면 壓縮 또는 引張變形이 생긴다. 이러한 흙의 缺點을 補完하기 위하여 考案된 材料가 補強土이다.

補強土의 基本概念과 補強材의 役割은 Fig. 2.1과 같은 간단한 모델을 利用하여 說明할 수 있다. Fig. 2.1(a)와 같이 補強하지 않은 半無限 土體(Semi-infinite Soil Mass)내의 한 要素에

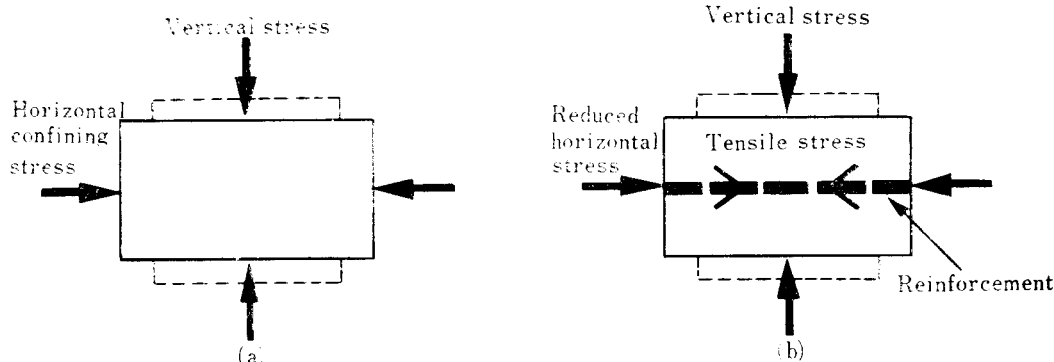


Fig. 2.1 Basic concepts of reinforced earth

垂直應力이 작용하면 이垂直應力으로半無限土體는橫方向으로變形이 일어나게 되며, 이半無限土體가橫方向으로變形이 일어나지 않기 위해선는半無限土體 주위에水平方向應力이作用해야 한다. 이水平方向의拘束應力의 크기는半無限土體가橫方向으로膨脹하는 것과直接관계된다.

그러나, Fig. 2.1 (b)에서 보는바와 같이 Fig. 2.1 (a)와 같은 크기의半無限土體가引張伸度가 적은補強要素를水平하게土體內에設置하였을 경우補強된半無限土體는補強要素와흙사이의相互摩擦作用으로引張抵抗力이생기게되고橫方向의變形이일어나는것을抑制한다. 이것은補強한半無限土體에橫方向의拘束力 또는荷重이作用하는 것과같은舉動을한다.

2.2 等價拘束應力과 非等方性 粘着力理論

두께가얇은引張補強材를乾燥한모래供試體속에水平하게넣고三軸壓縮및平面變形壓縮試驗을한結果가여러研究者^{9,10,12,13,14,19,20)}들에의하여報告된바있다. 이들의研究結果에의하면 다음과같이두가지理論으로說明된다.

2.2.1 等價拘束應力理論

이理論은흙과補強材사이에생기는摩擦力에의하여橫方向에새로운拘束應力($\Delta\sigma_3$)이가해져補強된흙의強度가增加하는것이라고생각하는理論으로Yang¹⁴⁾에의하여提案되었다.非粘性土의Mohr-Coulomb식에서다음과같이補強된모래의破壞時主應力($(\sigma_{1f})_R$)을구하였다.

$$(\sigma_{1f})_R = (\sigma_3 + \Delta\sigma_3)K_p \quad (1)$$

여기서, $(\sigma_{1f})_R$ 는補強된모래의破壞時主應力이고, σ_3 는供試體에가해진拘束應力, $\Delta\sigma_3$ 는增加된等價拘束應力(Equivalent Confining Stress), K_p 는受動土壓係數이다.

2.2.2 非等方性粘着力理論

이theory는補強材가 ΔH 間隔으로插入된圓筒型의補強모래供試體가三軸壓縮을받고있는경우補強모래의壓縮強度가增加하게되는것은水平으로設置된補強材에의하여土體에

非等方性의粘着力(Anisotropic Cohesion)이생긴다는理論으로Schlosser와Long²⁴⁾이Coulomb의理論을適用하여誘導하였다. 즉非等方性의粘着力은補強材의配置間隔 및引張強度와函數關係가있다.補強된모래의破壞時主應力($(\sigma_{1f})_R$)은다음과같이誘導되었다.

$$(\sigma_{1f})_R = \sigma_3 K_p + 2C_R \sqrt{K_p} \quad (2)$$

여기서, C_R 은非等方性粘着力으로힘의平衡條件를適用하여다음과같은식을誘導할수있다.

$$C_R = \frac{(T_f)_R \sqrt{K_p}}{2 \Delta H} \quad (3)$$

여기서, C_R 은補強材를水平하게배치한경우의非等方性粘着力, $(T_f)_R$ 은補強材單位幅當破壞時의引張抵抗力, ΔH 는補強材의垂直方向配置間隔이다.

2.2.3 等價拘束應力과 非等方性粘着力의關係

(1)식과(2)식에서等價拘束應力($\Delta\sigma_3$)과非等方性粘着力(C_R)의관계를比較하면다음과같은非等方性粘着力이誘導된다.

$$C_R = \frac{\Delta\sigma_3 \sqrt{K_p}}{2} \quad (4)$$

또한(3)식과(4)식에서等價拘束應力($\Delta\sigma_3$)은다음과같이誘導된다.

$$\Delta\sigma_3 = \frac{(T_f)_R}{\Delta H} \quad (5)$$

따라서補強材의單位引張抵抗力 $\left(\frac{(T_f)_R}{\Delta H}\right)$ 은等價拘束應力($\Delta\sigma_3$)과같다.

3. 補強土의舉動特性實驗

3.1 實驗材料

3.1.1 畜

補強土는畜과補強材의接觸에의하여그機能을발휘하는바,本實驗에서는흙과補強材사이의摩擦特性과補強土의強度및應力一變形舉動特性을究明하기위하여補強土의原理에잘接近된다고생각되는注文津產標準모래를試料로 사용하였다.

本實驗에사용된標準모래試料는物理的및化學的으로安定되어있고깨끗하며均等한中

Table 3.1 Properties of standard sand

Specific Gravity Gs	Effective Grain Size, D_{10} (mm)	Median Grain Diameter D_{50} (mm)	Coefficient of Uniformity C_u	Coefficient of Curvature C_c	Maximum Void Ratio, e_{\max}	Minimum Void Ratio, e_{\min}	Testing Void Ratio, e_{test}	Relative Density, $Dr(\%)$	Angle of Internal Friction $\phi(^{\circ})$	Soil Classification
2.64	0.37	0.5	1.43	1.03	0.899	0.561	0.640	77	40	SP

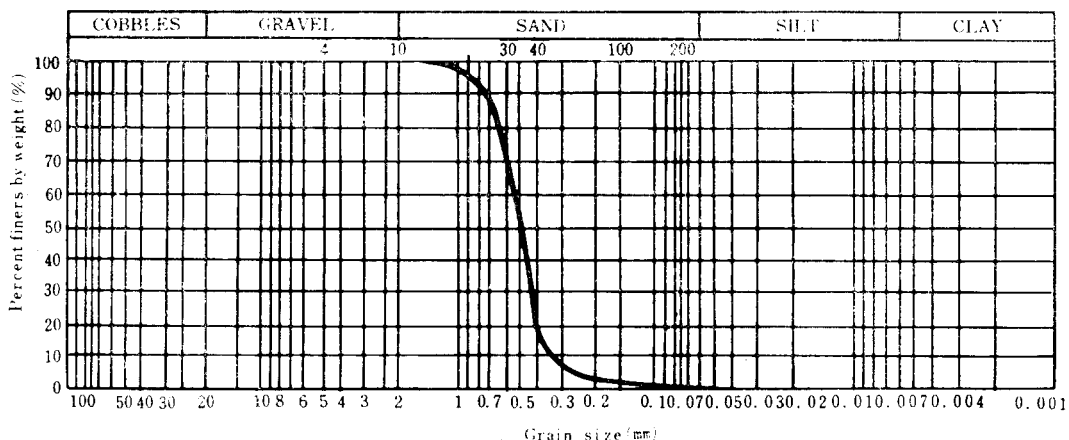


Fig. 3.1 Grain size accumulation curve of standard sand

間粒徑의 特性을 갖고 있다. 標準모래 試料의 性質을 要約한 것이 Table 3.1이며, 粒徑加積曲線은 Fig. 3.1과 같다. 여기서 標準모래의 内部摩擦角은 三軸壓縮試驗에 의하여 測定된 것이다.

3.1.2 補強材

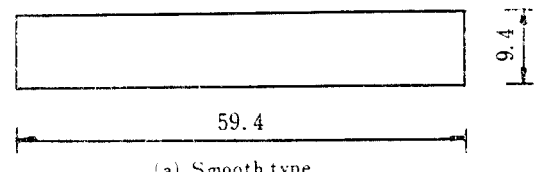
흙의 引張力에 대한 補強에 사용되는 補強材로는 合成纖維織物 또는 土木纖維와 같이 彈性係數가 比較的 작고 伸度가 큰 非金屬系通의 材料와 鋼材나 알루미늄 合金鋼과 같이 彈性係數가 크고 伸度가 작은 金屬系統의 材料로 나눈다. 特히 土木纖維로는 織布와 不織布가 있으며, 이 (Webbing), 網(Net), Mat, Geogrid 등의 特殊土木纖維가 開發되어 사용되고 있다.

本 實驗에서는 摩擦特性實驗과 補強土의 強度 및 應力-變形 舉動特性實驗에 각각 다른 性質의 補強材를 사용하여 補強土의 舉動特性을 調査하였다.

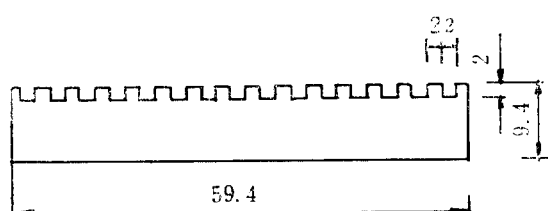
먼저 흙과 補強材의 摩擦特性實驗에는 鋼板과 Paraweb의 2種의 補強材를 사용하였다. 鋼板은 比較的 材質이 均質하고 引張強度가 좋다고

생각되는 것을 Fig. 3.2와 같이 두께가 9.4 mm이고 直徑이 59.4 mm인 圓形으로 加工한 것 3種이다. 특히, 補強材의 表面狀態가 摩擦係數에 미치는 영향을 조사하기 위하여 補強材의 表面을 凹凸 및 山形으로 加工한 것 2種과 평坦한 것 1種으로 나누어 준비하였다. Paraweb (Grade 50)는 K社 製品의 補強土 摊壁用 Belt로 사용되는 것으로 Fig. 3.3과 같다. Paraweb를 構成하고 있는 基本材料는 Polyester와 Polyethylene으로 그 性質은 Table 3.2와 같다. Paraweb는 한 끝으로 된 數 많은 Polyester 纖維 가닥을 촘촘하게 심지로 배치하고 이 補強纖維 주위를 Polyethylene으로 被服하여 10 끝을 이루고 있다. 여기서 Polyester 纖維의 主要分解作用濟는 물로 이의 保護 外裝用으로 黑色等級의 Polyethylene을 사용한다. 이것을 사용하면 햇빛에 노출되거나 축축한 條件의 흙 속에서 變質되지 않고 微生物에 대한 抵抗力이 優秀하다. Paraweb의 摩擦特性을 調査하기 위하여 두께가 3.5 mm이고 直徑이 59.4 mm인 圓形으로 加工하여 준비하였다.

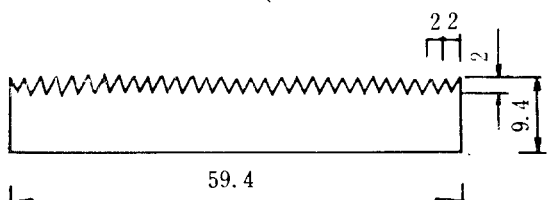
또한補強土의 強度 및 應力一變形 舉動特性實驗에 사용된 補強材는 알루미늄 薄板과 D社製品의 土木纖維인 不織布를 直徑 50 mm로 加工하여 준비하였다. 알루미늄 薄板의 두께는 0.05 mm이고 引張強度는 7 kg/cm이다. 土木纖維의 性質을 要約하면 Table 3.3과 같다.



(a) Smooth type



(b) Rough (III) type



(c) Rough (mountain) type

Fig. 3.2 Shape and size of steel plate(mm)

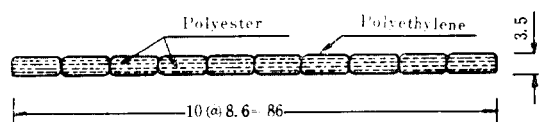
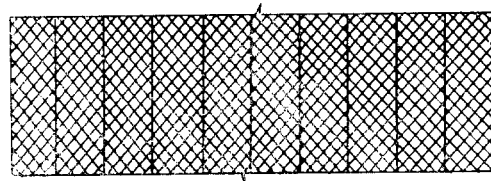


Fig. 3.3 Shape and size of paraweb(mm)

3.2 實驗

補強土의 舉動特性을 完明하기 위한 室內試驗方法들이 여려 研究者들에 의하여 提案되어 있으나, 國內의으로는 아직 標準化된 試驗方法이 없는 實情이다.

따라서 本研究에서는 現在 널리 사용되고 있는 土質實驗用 試驗機를 사용하여 補強土의 舉動特性이 研究되었다.

3.2.1 糙과 補強材의 摩擦試驗

糙과 補強材 사이의 摩擦係數를 구하기 위한 室內 試驗方法에는 剪斷箱子가 큰 大型의 直接剪斷試驗機를 사용하여 다음의 3 가지 試驗方法이 주로 채용되고 있다^{15, 17, 21)}.

(1) 固定剪斷箱子試驗法

(2) 自由剪斷箱子試驗法

Table 3.2 Properties of paraweb

Grade	Minimum short-term breaking load (KN)	Minimum long-term breaking load (KN)	Maximum design load (KN)	Nominal width (mm)	Nominal thickness (mm)	Nominal weight per coil (kg)	Nominal coil length (m)
50	50	37.5	12.5	90	3.5	23.8	100

Table 3.3 Properties of geotextile

Fabric composition	Filament	Fabrication process	Nominal thickness (mm)	Fabric weight (g/m ²)	Tensile strength (kg/in)	Elongation at break (%)
100% Polypropylene	Continuous multifilament	Needlepunched, Nonwoven	1.6	140	6.4	72.5

(3) 引拔試験法

또한 現場試験方法에는 實際構造物을 築造하여 引拔試験에 의하여 測定하고 있다.

本研究에서는 이들 여려 試験方法中 室內 土質實驗用 直接剪斷試験機의 剪斷箱子(直徑 59.4 mm 인 圓形)를 Fig. 3.4 와 같이 下部 剪斷箱子를 改良하여 固定剪斷箱子試験法에 의하여 摩擦係數를 測定하였다. 下部 剪斷箱子 속에는 같은 크기의 나무板 위에 Fig. 3.2 와 Fig. 3.3의 補強材 試片을 強力接着劑로 附着하여 設置하고 試片의 높이가 下部 剪斷箱子의 높이와 일치되는가를 確認한 後 上部 剪斷箱子를 조립하였다. 上部剪斷箱子의 內部속에는 壓 試料를 空隙比와 合水比를 變化시켜 適當한 높이를 채워 넣었다. 壓試料의 空隙比는 Table 3.1 的을 채용하였으며, 合水比는 0, 16.2 및 鮫和狀態의 合水比 22.3%로 變화시켜 摩擦角을 測定하였다. 實驗時 剪斷速度는 1 mm/min 로 하여 實驗하였다.

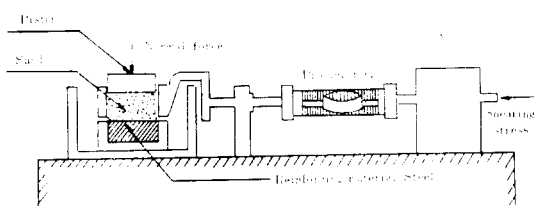


Fig. 3.4 Modified direct shear box for determining skin friction angle between sand and reinforcing material.

3.2.2 三軸壓縮試験

補強土의 強度 및 應力一變形 舉動特性은 現在 널리 利用되고 있는 土質實驗用의 三軸壓縮試験機를 사용하여 研究하였다.

本研究에서 사용된 三軸壓縮試験用 供試體의 크기는 直徑이 50 mm 이고 높이가 100 mm 인 圓筒型이며, 供試體의 種類는 非補強供試體와 補強供試體로 나누어 준비하였다. 補強供試體에서 補強材는 알루미늄 薄板과 土木纖維를 사용하였으며, 三軸壓縮試験用의 供試體 直徑과 같게 50 mm 로 하였다. 補強材의 配置間隔은 Fig. 3.5 에서 보는 바와 같이 供試體 높이의 $\frac{1}{2}$ 또는 $\frac{1}{3}$ 로 하여 補強層數가 1 層인 것과 2 層인 것으로 나누어 水平하게 配置하였다. 供試體 製作은 모

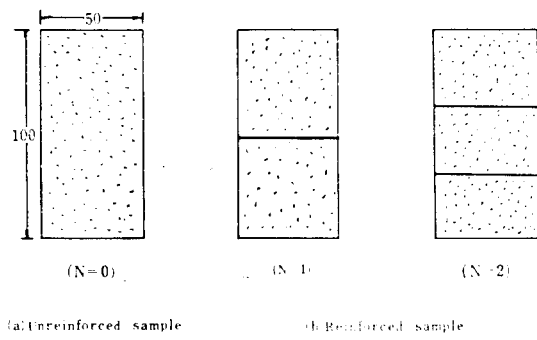


Fig. 3.5 Reinforcement layer positions in triaxial test specimens

래 成型用 풀드를 사용하여 만들었으며, 供試體의 다침은 무게가 1.4 kg 인 다침棒을 사용하여 다졌다. 이때의 平均 相對密度 是 77%로 촘촘한 상태의 供試體이다.

三軸壓縮試験은 變形制御試験으로 非排水剪斷試験을 實施하였고, 拘束壓力은 0.5, 1.0, 1.5 kg/cm² 을 가하여 軸差應力 및 變形을 測定하였다. 平均 變形速度는 3 mm/min 로 하였다.

3.3 實驗結果 및 分析

3.3.1 壓과 補強材의 摩擦特性

壓과 補強材사이의 摩擦特性은 補強材의 設計引張強度를 誘發시키는데 있어서 매우 重要한 因子가 된다. 本研究에서는 補強材의 種類 및 表面狀態, 壓試料의 密度 및 合水比 變化에 따른 壓과 補強材사이의 摩擦特性을 比較 分析하였다.

3.3.1.1 壓의 相對密度와 空隙比의 影響

壓의 密度變化에 따른 壓과 補強材사이의 摩擦角을 測定한 結果는 Table 3.4 와 같고, 이 結果를 相對密度로 換算하여 그림으로 나타낸 것 이 Fig. 3.6 이다.

Fig. 3.6에 나타난 바와 같이 相對密度가 增加함에 따라 壓과 補強材사이의 摩擦角은 增加되고 있다. 이는 壓試料의 다침狀態가 촘촘한 試料에서는 壓粒子가 密集되어 있어 억물림(Interlocking)의 效果가 크게 되어 壓과 補強材사이의 摩擦角이 큰 것으로 判斷된다. 그리고 補強材와 모래가 합쳐지는 결과에 의하여 剪斷面은 補強材의 上端을 連結하는 面을 따라 생긴

Table 3.4 Values of skin friction angle by density

Samples	Skin friction angle, (°)		
	e_{\max} (0.899)	e_{test} (0.561)	e_{\min} (0.640)
Standard sand	28	37	38
Steel plate	Smooth	20	27
	Rough (凹凸)	23	34
	Rough (Mountain)	27	34
Paraweb	22	29	29

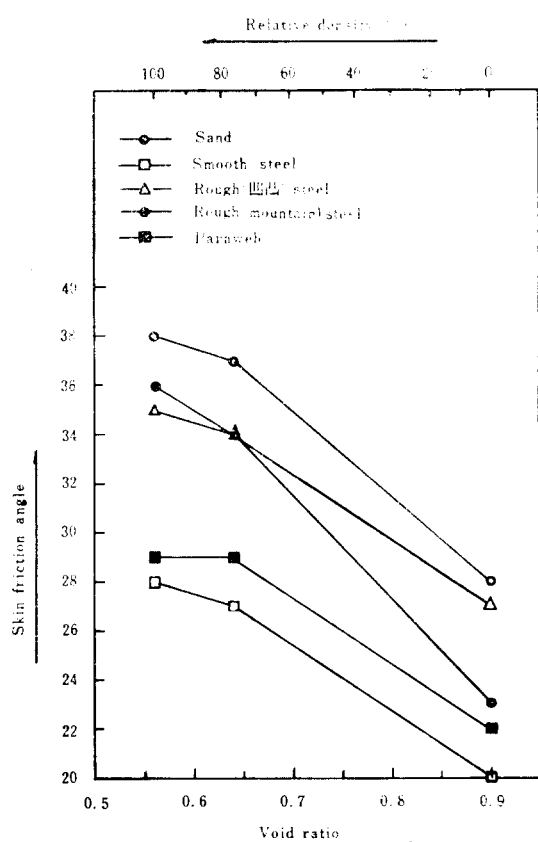


Fig. 3.6 Relationships between void ratio, relative density and skin friction angle

다고 볼 수 있다.

또한 Table 3.4의 결과를 空隙比로換算하여
흙의 空隙比變化에 따른 흙과 補強材사이의 摩

擦角變化 관계를 그린 것이 Fig. 3.6이다. Fig. 3.6에 나타난 바와 같이 空隙比가增加함에 따라 흙과 補強材사이의 摩擦角은減少하고 있다.

3.3.1.2 흙의 合水比의 影響

흙의 合水比에 따른 흙과 補強材사이의 摩擦角

Table 3.5 Values of skin friction angle by water content

Samples	Skin friction angle, (°)			
	$w=0\%$	$w=16.2\%$	$w=22.3\%$	
Standard sand	39	37	32	
Steel plate	Smooth	27	24	22
	Rough(凹凸)	33	30	29
	Rough (mountain)	36	32	30
Paraweb	29	25	25	

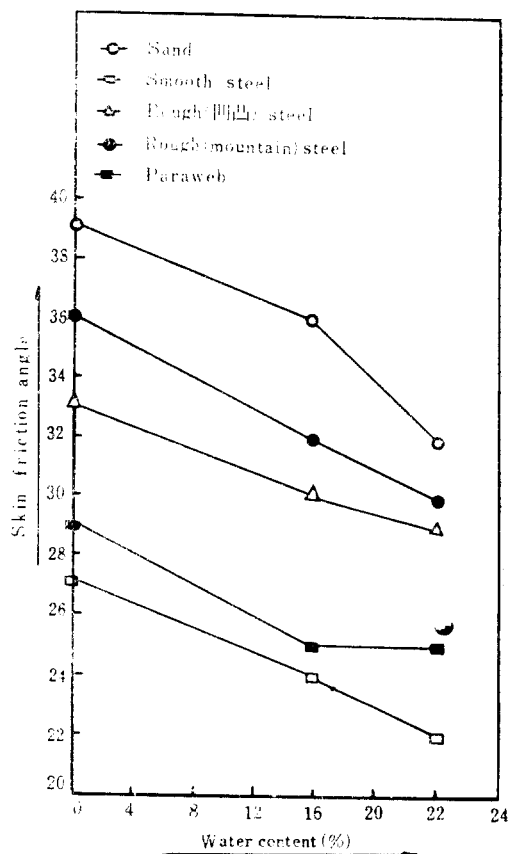


Fig. 3.7 Relationships between water content and skin friction angle

을 調査한 結果는 Table 3.5 와 같고 이 결과를 나타낸 것이 Fig. 3.7 이다.

Fig. 3.8에 나타난 바와 같이 合水比가 增加함에 따라 모든 試料에 있어서 摩擦角은 減少하였다. 特히 모래가 乾燥한 狀態에서 饱和狀態로 滲길 때 摩擦角은 약 10~15% 程度 減少하였다. 이러한 傾向은 물이 어느 정도 흙 속에서 潤滑作用하는 것으로 判斷되며, 흙과 各種 建設材料 사이에 潤滑作用으로 摩擦抵抗角이 減少된다는 여러 研究者들^{6,7,8,23)}의 發表 結果와 一致한다.

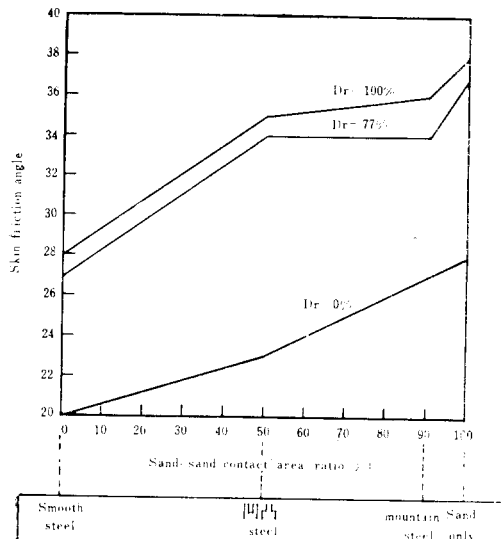


Fig. 3.8 Relationships between sand-sand contact area ratio and skin friction angle

3.3.1.3 補強材의 表面狀態의 影響

Fig. 3.8은 相對密度에 따른 破壞面中 모래와 모래의 接觸面積比와 摩擦角의 관계를 나타낸 것이다. 이 그림에서 摩擦角은 모래의 相對密度와 모래와 모래의 接觸面積比에 比例하는 정도는 되지 못하지만 相對密度가 增加함에 따라 摩擦角은 증가함을 알 수 있다.

Table 3.4 와 Table 3.5에서 나타난 바와 같이 補強材의 表面을 凹凸 또는 山形으로 加工한 것이 加工하지 않은 것보다 摩擦抵抗角이 더 크게 나타났다. 또한 이를 測定된 값들은 모래의 内部摩擦角보다 작게 나타났다. 이러한 결과는 補強材의 表面이 매끈한 것은 摩擦抵抗이 主로 回轉과 滑動에 의한 것이고, 補強材의 表面을 凹凸

또는 山形으로 加工한 것은 흙과 補強材의 表面의 粗度에 따른 억물림에 의한 抵抗이라 생각된다. 補強材의 表面을 山形으로 加工한 것이 凹凸로 加工한 것보다 더 크게 나타난 것은 억물림에 의한 構造的抵抗의 값이 回轉과 滑動에 의한抵抗값보다 더 크기 때문이라 생각된다. 이러한 경향은 合水比가 增加하여도 그 精度에는 差異가 있으나 같은 경향이라 判斷된다.

3.3.2 補強土의 強度 및 應力一變形特性

3.3.2.1 應力一變形特性

Fig. 3.9는 非補強土의 軸差應力과 軸方向 變形率을 나타낸 것이고, Fig. 3.10 및 Fig. 3.11은 土木纖維와 알루미늄 薄板으로 補強한 모래의 供試體에 대한 軸差應力과 軸方向 變形率의 관계를 나타낸 것이다.

土木纖維로 補強한 모래의 供試體에서 剪斷破壞는 軸方向 變形率값이 5~6%일 때 일어났다. 그러나 알루미늄 薄板으로 補強한 모래의 供試體는 4~5%의 軸方向 變形率값에 일어 났다. 이러한 경향은 모래를 補強하는데 사용한 補強材의 性質이 다르기 때문이라 判斷되며, 특히

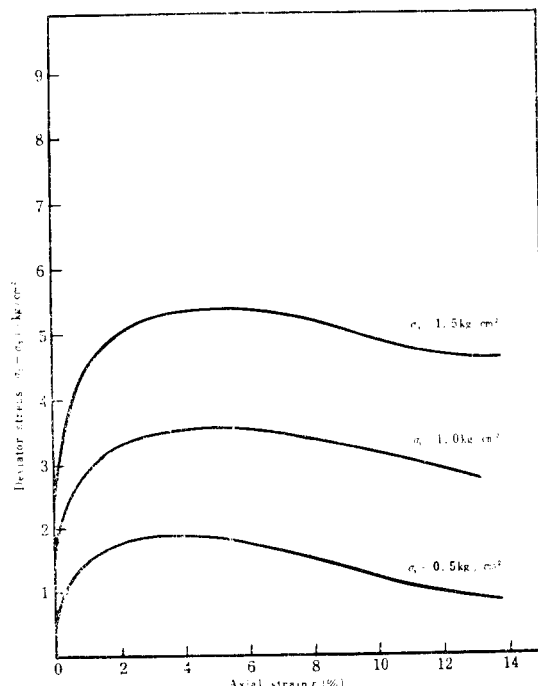


Fig. 3.9 Stress-strain relationships from triaxial compression tests on unreinforced sand

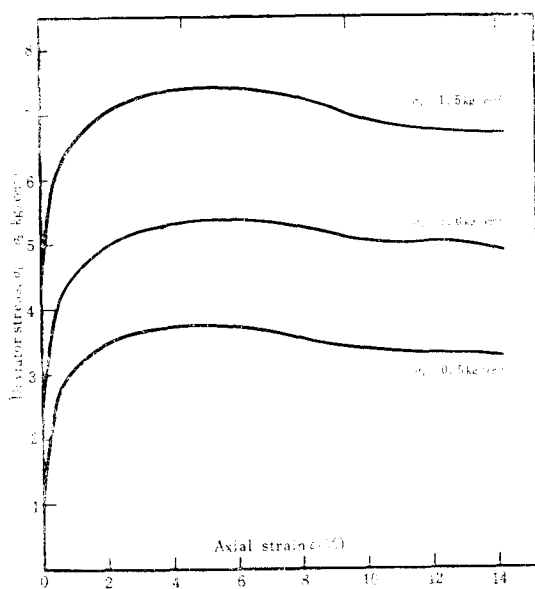


Fig. 3.10 Stress-strain relationships from triaxial compression tests on geotextile reinforced sand ($N=2$)

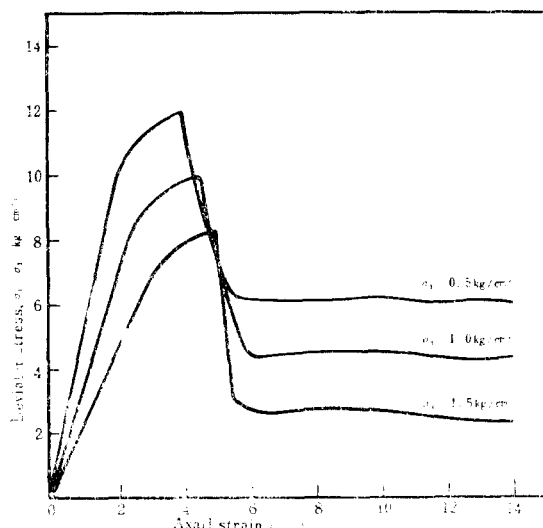


Fig. 3.11 Stress-strain relationships from triaxial compression tests on aluminium foil reinforced sand ($N=2$)

土木纖維로補強한 경우 剪斷破壞가 급격히 일어나지 않고 완만하게 일어난 것은 土木纖維의 弹性係數가 작고 伸度가 커서 破壞時 時間依存性에 의한 塑性變形이 일어나기 때문이라 생각된다.

반면에 알루미늄薄板으로補強한 供試體는 일단剪斷破壞가 일어나면補強材의破斷으로剪斷破壞面에서補強材의抵抗은 거의 없어지고 모래에 의해서만剪斷抵抗을 할 수 있다.

軸差應力과 軸方向變形率 관계에서拘束壓力이一定하게增加함에 따라軸差應力도一定하게增加됨을 알 수 있다.

3.3.2.2 強度 및 破壞包絡線

Fig. 3.12는非補強모래의Mohr의應力圓과破壞包絡線을 나타낸 것이다. Fig. 3.13 및 Fig. 3.14는土木纖維와 알루미늄薄板으로補強된 모래의Mohr의應力圓과破壞包絡線이다.

補強모래의破壞包絡線은非補強모래의破壞

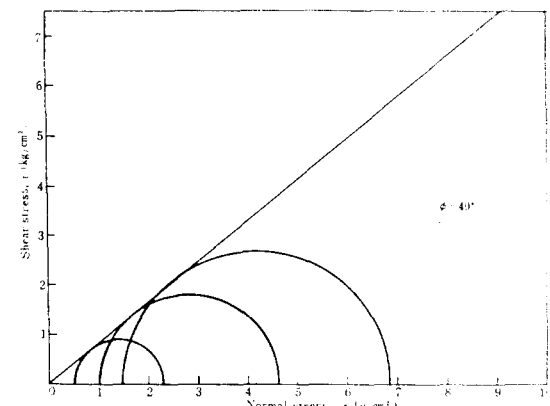


Fig. 3.12 Mohr's circle and failure envelope on unreinforced sand

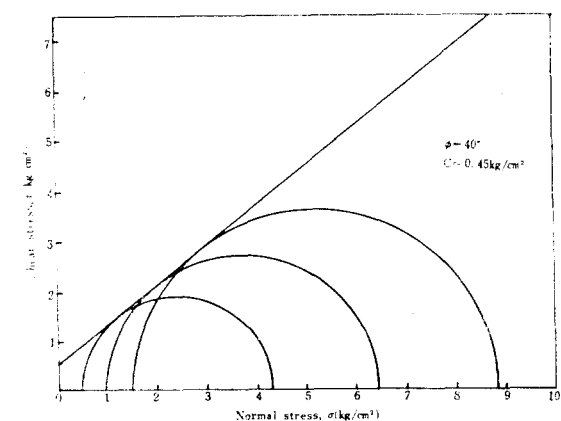


Fig. 3.13 Mohr's circle and failure envelope on geotextile reinforced sand ($N=2$)

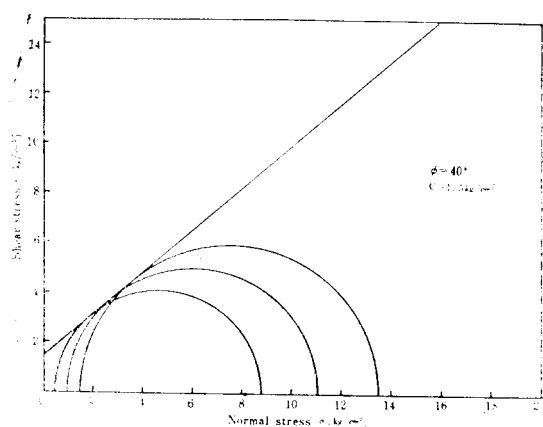


Fig. 3.14 Mohr's circle and failure envelope on aluminium foil reinforced sand ($N=2$)

包絡線의 위에 위치하여 非補強モレ의 破壞包絡線에 나란하다. 이結果 모래의 内部摩擦角은 補強材에 의해 影響을 주지 않음을 알 수 있다. 또한 補強層의 數가 增加함에 따라 比例하여 增加되고 刚性이 큰 알루미늄 薄板으로 補強한 경우 強度增加가 뚜렷하다. 그러나 土木纖維로 補強한 모래의 경우 極限強度는 增加되지만 刚性은 減少하려는 傾向이 있다.

三軸壓縮試驗에서 구한 等價拘束應力($\Delta\sigma_3$)과 非等方性粘着力(C_R)을 理論值와 比較한 것이 Table 3.6이다. 여기서 土木纖維로 補強한 모래의 供試體 경우 實驗值는 理論值의 約 55.3%이고, 알루미늄 薄板으로 補強한 모래의 供試體의 경우에는 約 69%로 나타났다. 實驗值가 理論值에 비하여 小さい지만 等價拘束應力와 非等方性粘着力의 성김을 確認하였다.

3.3.2.3 供試體의 破壞와 補強材의 破斷模樣

土木纖維 또는 알루미늄 薄板으로 補強한 모

래의 供試體 破壞 模樣은 補強層사이로 橫方向으로 부풀어 破壞되어 非補強모래의 供試體破壞模樣과는 전혀 다른 様相을 보이고 있다. 이것은 補強材의 配置 數와 間隔에 따라 다를 것이며 補強材의 配置間隔이 좁은 경우 局部的인 破壞가 예상된다.

三軸壓縮試驗에 의해 觀察된 알루미늄 薄板의 破斷形狀은 Fig. 3.15와 같이 剪斷應力은 補強材 中心에서 外側으로 向해서 作用하는 것으로 나타나고 있다. 그러나 Schlosser와 Long²⁴⁾은 三軸壓縮試驗에 의한 補強材의 破斷은 補強材 中心과 外側 方向을 향하여 剪斷應力이 作用하고 破斷된다고 하였다. 本 實驗에서 이러한 現象은 거의 確認되지 않았다. 이것은 補強材의 直徑이 작아서 觀察이 어려웠다고 判斷된다. 土木纖維의 경우 알루미늄 薄板과 같은 破斷現象은 일어나지 않았으며, 이것은 土木纖維의 材料的性質이 알루미늄 薄板과 아주 다르기 때문이라 생각된다.

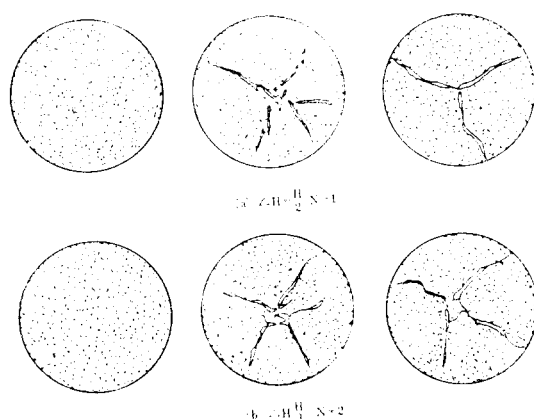


Fig. 3.15 Shape of fissures in the aluminium foil of a reinforced sand in triaxial test

Table 3.6 Comparison between theory and experimental results

Reinforcement types	Equivalent confining stress increase ($\Delta\sigma_s$, kg/cm^2)		Anisotropic cohesion (C_R , kg/cm^2)	
	Calculated values	Measured values	Calculated values	Measured values
Geotextile	0.76	0.42	0.81	0.45
Aluminium foil	2.10	1.45	2.25	1.50

4. 補強土石築의 開發

4.1 概 說

全世界的으로相當數의 補強土擁壁이 築造되었지만 그것은 鋼材나 알루미늄 合金鋼과 같은 弹性係數가 큰 補強要素를 사용한 것以外는 거의 없다. 특히 土木纖維와 같은 材料를 利用하여 築造한 補強土擁壁은 거의 없고, 있다해도 주로 實驗室研究^{17,22)}가 대부분이다.

補強土施工에 사용되는 補強要素로서 土木纖維의 利用은 다른 補強要素에 비하여 값이 더 싸고 가벼우며 耐久性이 크다. 또한 높은 摩擦係數와 加工 및 貯藏, 運搬이 쉬운點 등 몇 가지의 長點을 갖고 있다. 그러나 弹性係數가 작고伸度가 커 補強土에 사용될 경우 問題가 된다.

本研究에서는 在來의 石築을 構造的으로 補強하기 위하여 土木纖維를 利用한 補強土 石築의 開發可能性을 模型實驗을 통하여 確認하였다.

4.2 模型實驗

4.2.1 實驗材料

本模型實驗에 사용한 각 材料는 前面 壁體와 補強材, 뒷 채움흙으로 그 性質은 다음과 같다.

前面 壁體는 $5 \times 5 \times 5$ cm 크기의 Cement Mortar Block을 實驗室에서 製作하여 사용하였으며, Block의 平均單位重量은 1.73 g/cm^3 이다. Block의 각 面은 매끈하게 깔아서 Block面에서의 마찰을 쥐게하였다.

補強材는 Table 3.3과 같은 土木纖維를 사용하였고, 補強材의 幅은 5 cm로 하여 補強材의 長이만 石築 높이를 기준으로 변화시켜 준비하였다. 즉 補強材의 長이를 30, 25, 20, 15 cm로 하였다.

뒷 채움흙은 Table 3.1과 같이 標準모래를 사용하였다.

4.2.2 實驗裝置

模型 補強土 石築의 크기는 Fig. 4.1과 같이 하였다. 模型의 크기는 幅 20 cm, 高 70 cm, 높이 50 cm로 두께가 1.5 cm인 板材로 견고하게 만들었다. 模型箱子의 한쪽면은 高強度 아크릴板을 사용하였다.

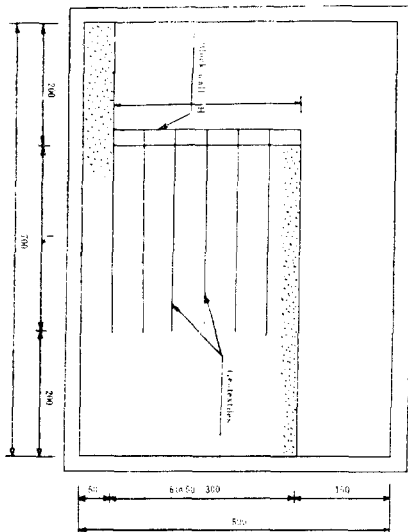


Fig. 4.1 Model test apparatus of geotextile reinforced earth masonry walls(mm)

필板을 대어 載荷重으로 인한 補強土 石築의 破壞面을 觀察할 수 있게 透明한 아크릴板에 모눈을 놓았다.

4.2.3 實驗方法

模型實驗은 다음과 같은 順序로 진행되었다. 먼저 標準모래를 基礎地盤 材料로 사용하기 위하여 두께 50 mm 되게 정확히 깔고 그 위에 블록의 너트로連結¹³⁾한 幅이 5 cm인 土木纖維 補強材를 일정한 간격을 유지하면서 水平하게 깔았다. 그런 후 載荷重에 의한 破壞面 觀察이 용이하게 색깔있는 모래를 아크릴板 근처에 부었다. 보강재의 연직간격이 5 cm 될때 까지 標準모래를 부어 한층의 補強土 層을 형성하였고, 前面에 Block을 쌓았다. 이와같은 方法을 계속하여 소요의 높이까지 축조한 후 補強土 石築 背面에 물荷重을 걸어 파괴면 만을 관찰하였다.

4.3 實驗結果 및 分析

Fig. 4.2는 補強土 石築의 破壞面을 觀察한 것을 나타낸 것이다. 補強土 石築의 最下端부에서 壁體의 移動은 거의 나타나지 않았고, 壁體頂部로 올라갈 수록 壁體의 移動이 더 많이 생겼지만 급격히 파괴는 일어나지 않았다. 이러한 현상은 보강재로 사용한 土木 纖維의 伸度가 비교적 커 逆性變形이 일어나는 것으로 생각된다. 補強土石築은 壁體의 下部先端을 回轉 中心으로

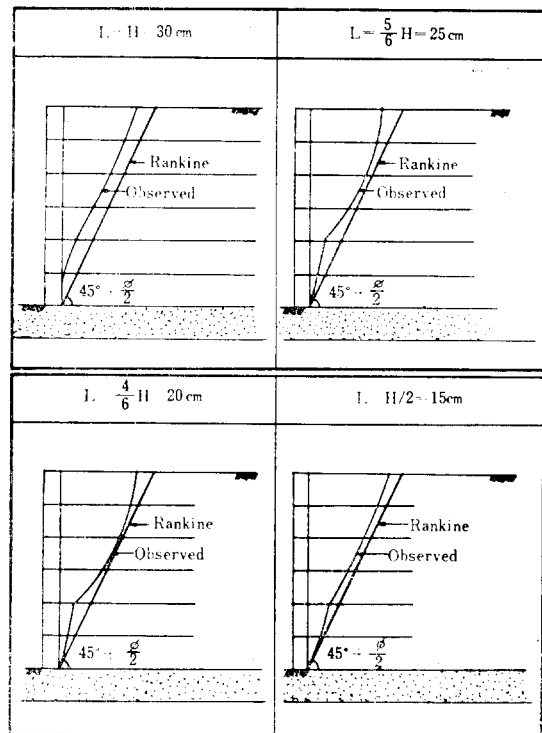


Fig. 4.2 Observed failure surface of geotextile reinforced earth masonry walls

顛倒되어 파괴되는 것으로 판단되며, 파괴면도 Rankine의 파괴면과는 달리 벽체 쪽으로 약간 이동하여 파괴면을 형성하고 있는 것이 관찰되었다. 이것은 土木纖維의 引張伸度와 어떤 관계가 있다고 생각된다.

5. 結論

本研究는 補強土의 性質 중 가장 기본의이며 중요한 緒과 補強材사이의 摩擦特性과 補強土의 強度 및 應力一變形 舉動特性을 實驗的으로 調査하고 그 性質을 利用한 補強土 石築의 開發可能性을 模型實驗을 통하여 檢討하였다. 本 實驗을 통하여 연구된 結果를 要約하면 다음과 같다.

1. 緒과 補強材의 摩擦係數는 相對密度가 增加함에 따라 增加하였다. 또한 合水比가 增加함에 따라 減少하였고 補強材의 表面을 加工함에 따라 緒의 內部摩擦係數에 接近하였다.

2. 補強材로 補強한 供試體의 경우 非補強供試體에 비하여 비교적 높은 變形度에서 強度가 增加하였으며 補強材의 數가 增加함에 따라 比例하여 強度가 增加되었다.

3. 알루미늄 薄板과 土木纖維로 補強한 모래의 供試體는 軸差應力과 變形度에서 빨간 相異點이 發見되었으며, 알루미늄 薄板으로 補強한 경우 破壞 以後의 強度가 급격히 떨어졌다. 반면에 土木纖維로 補強한 경우 非補強 모래 供試體와 비슷한 形태의 應力一變形 舉動을 하고 있다.

4. 알루미늄 薄板과 土木纖維로 補強한 모래의 破壞包絡線은 非補強 모래의 破壞包絡線에 나란하다.

5. 補強供試體의 破壞模樣은 補強層사이로 橫方向으로 부풀어 파괴되었다. 또한 補強材의 破斷形狀은 補強材 中心部에서 外側方向으로 破斷되었다.

6. 補強土 石築의 模型實驗을 통하여 土木纖維를 利用한 補強土 石築의 開發 可能性이 確認되었다.

補強土 石築에 대한 設計는 다음 機會로 미룬다.

本研究는 1986~1987 年度 韓國科學財團의 研究費 支援에 의하여 이루어 졌음.

參 考 文 獻

1. 秦柄益, 柳然吉, “補強土 응벽에 대한 模型實驗”, 大韓土質工學會誌, 第2卷, 第1號, 1986年, pp. 45~54.
2. 정인준, 강병희, 백영식, 이종규, 신풍식, 조중재, “79年 補強土工法에 關한 研究”, 建設研究所資料 No. 397, 建設部, 國立建設研究所, 1979, pp. 1~87.
3. 신풍식, 도덕현, 강창구, “補強土工法研究”, 建設研究所資料, No. 402, 建設部, 國立建設研究所, 1980, pp. 45~139.
4. 최내형, 강창성, 백상현, 김기대, “補強土工法研究”, 建設研究資料, No. 421, 建設部, 國立建設研究所, 1981, pp. 74~121.
5. “Geotextile 및 補強土工法에 關한 研究”, 研究報告書, 韓國建設技術研究院, 1985.

6. 橋本良昭 “補強土(テルアルメ)壁に用いるハグ付キストルツウの摩擦特性について” 土と基礎, 9月, 1983, pp. 41~46.
7. 石堂稔, 関直三郎, 野間日 明義, “壁面摩擦特性について” 土木學會 第27回年次學術講演概要集, 第3部, 日本土木學會 III-117, 10月, 1972年, pp. 369 ~372.
8. 鳥田俊介, 星谷勝, テルアルメ(補強土工法) い於けるストリッフ, と土との摩擦特性について”, 土木學會 第27回 年次學術講演會 講演概要集, 第3部, 日本土木學會 IV-174, 10月, 1972年, pp. 547~550.
9. Andrawes, K.Z., McGown, A & Al-Hasani, M. M., “Alteration of Soil Behavior by the Inclusion of Materials with Different Properties”, Grounding Engineering, Vol. 11, No. 6, 1978, pp. 35~44.
10. Andrawes, K.Z., McGown, A. Mashhour, M.M. and Wison-Fahmy, R.E., “Tension Resistant Inclusions in Soils”, Journal of the Geotechnical Engineering Division, ASCE, Vol. 106, No. GT 12, 1980, pp. 1313~1326.
11. Batos, M.J., “101 Uses for Earth Reinforcement”, Civil Engineering, ASCE, Vol. 49, No. 1, Jan., 1979, pp. 51~57.
12. Gray, D.H., Athanasopoulos, G. and Ohashi, H., “Internal/External Fabric Reinforcement of Sand”, 2nd ICG, Las Vegas, USA, Vol. III, 1982, pp. 611~616.
13. Gray, D.H. and Ohashi, H., “Mechanics of Fiber Reinforcement in Sand”, Journal of the Geotechnical Engineering Division, ASCE, Vol. 109, No. 3, 1983, pp. 335~353.
14. Gray, D.H. and Al-Refeai, T., “Behavior of Fabric-versus Fiber-Reinforced Sand”, Journal of the Geotechnical Engineering Division, ASCE, Vol. 112, No. 8, 1986, pp. 804~820.
15. Ingold, T.S., “A Laboratory Investigation of Soil-Geotextile Friction”, Ground Engineering, Vol. 17, No. 8, 1984, pp. 21~24, 26~28.
16. Ingold, T.S., “Reinforced Earth”, Thomas Telford Ltd, London, 1982.
17. Koerner, R.M. and Welsh, J.P., “Construction and Geotechnical Engineering Using Synthetic Fabrics”, Wiley and Sons, N.Y., 1980.
18. Lee, K.L., Adams, B.D. and Vagneron, J.J., “Reinforced Earth Retaining Walls”, Journal of the Soil Mechanics and Foundation Engineering Division, ASCE, Vol. 99, No. SM 10, 1973, pp. 745~764.
19. Mandal, J.N., “A Goal for Geotextiles”, 3rd ICG, Vienna, Austria, Vol. III, 1986, pp. 747~750.
20. McGown, A., Andrawes, K.Z. and Al-Hasini, K.M., “Effect of Inclusion Properties on the Behavior of Sand”, Geotechnique, Vol. 28, No. 3, 1978, pp. 327~346.
21. Miyamori, T., Iwai, S. and Makiuchi, K., “Frictional Characteristics of Non-Woven Fabrics”, 3rd ICG, Vienna, Austria, Vol. III, 1986, pp. 701~705.
22. Murray, R.T., “Fabric Reinforced Earth Walls; Development of Design Equations”, Ground Engineering, Vol. 13, No. 7, 1980, pp. 29, 31~36.
23. Potyondy, J.G., “Skin Friction between Various Soils and Construction Materials” Geotechnique, London, England, Vol. II, No. 4, Dec, 1961, pp. 339~353.
24. Schlosser, F. and Long, N-T. “Recent Results in French Research on Reinforced Earth” Journal of the Construction Division ASCE Vol. 100, No. CO 3, Paper 10800, March, 1974, pp. 223~237.
25. Vidal, H., “The Principle of Reinforced Earth”, Highway Reserch Record, No. 282, 1969, pp. 1~16.

(접수일자 1987. 12. 5)